



بررسی کانی‌شناختی و ژئوشیمی گدازه‌های غرب همبات هزار (راین - استان کرمان)

زهرا خواجه جواران^{*}، عباس مرادیان

گروه زمین‌شناسی، دانشکده علوم پایه، دانشگاه شهید باهنر کرمان

(دریافت مقاله: ۹۴/۶/۷، نسخه نهایی: ۹۰/۱۰/۱)

چکیده: همبات هزار جزئی از کمربند عمیق آتشفشاری دهچ - ساردوئیه در جنوب غرب راین (استان کرمان) است. بررسی گدازه‌ها نشان می‌دهد که گدازه‌ها از نوع بازالت، بازالتیک تراکی آندزیت، تراکی آندزیت و تراکی بازالت هستند. براساس بررسی‌های سنگ نگاری، این سنگ‌ها دارای کانی‌های پلازیوکلاز (الیگوکلاز - آندزین)، پیروکسن (اوژیت - دیوپسید) و الیوین با دگرسانی زیاد هستند. پلازیوکلازها اغلب دارای بافت‌های غیرتعادلی‌اند که نشان‌گر شکل‌گیری این شرایط در نتیجه کاهش فشار ماقماست. علت تشکیل درشت بلورهای پلازیوکلاز، هسته بندی کم و رشد زیاد بلورها در ماقما، تحت تأثیر ترکیب شیمیایی ماقما و احتمالاً تبلور در فشار کم بوده است. بررسی‌های ژئوشیمیایی نشان می‌دهد که گدازه‌ها وابسته به سری ماقمایی آهکی - قلیایی، در ارتباط با قوس آتشفشاری و به احتمال زیاد ماقمای سازنده‌ی این سنگ‌ها از ذوب بخشی گوهی گوشه‌ی غنی شده در بالای منطقه‌ی فرورانش در گستره پایداری گارنت هستند.

واژه‌های کلیدی: همبات هزار؛ آتشفشار؛ اوسن؛ پلازیوکلاز؛ پیروکسن؛ آهکی قلیایی.

مقدمه

سنگ‌های آتشفشاری اوسن ایران مرکزی کمربند ماقمایی ارومیه - دختر، به فرورانش پوسته‌ی اقیانوس نشوتیس به زیر ایران مرکزی در زمان اوسن، وابسته‌اند. [۱] با استفاده از داده‌های ژئوشیمیایی نشان داد که اغلب سنگ‌های کمربند آتشفشاری ارومیه - دختر درسری قلیایی و آهکی - قلیایی قرار می‌گیرند و به فرورانش وابسته‌اند. آن‌ها ماقماتیسم ناحیه‌ی بین کرمان و یزد را نیز مورد بررسی قرار دادند و آتشفشارهای حاصل را از جدایش ماقمای بازالت الیوین دار، ناشی از ذوب بخشی می‌دانند. همبات هزار به آتشفشارهای اوسن وابسته است که شامل واحدهای گدازه‌ای با ترکیب آندزیت تا بازالت و واحدهای آذرأواری می‌شود. در این پژوهش با بررسی‌های صحرایی، سنگنگاری و شیمی سنگ کل، تا حدودی خاستگاه ماقمای سازنده‌ی این سنگ‌ها و شکل گیری بعدی در آن‌ها

بررسی شوند.

روش بررسی

در این پژوهش نمونه‌برداری به صورت تصادفی انجام شد. از مجموع ۴۰ نمونه‌ی سنگی جمع‌آوری شده، تعداد ۱۰۰ نمونه‌ی سنگی را که دارای کمترین دگرسانی بودند، انتخاب و از آن‌ها مقطع نازک تهیه شد. پس از بررسی سنگنگاری، ۱۵ نمونه به منظور تجزیه‌ی سنگ کل به روش ICP-AES برای اندازه گیری عناصر اصلی و فرعی، ICP-MS برای اندازه گیری عناصر جزئی و خاکی نادر و OA-GRA برای اندازه گیری LOI به شرکت ALS Chemex کانادا ارسال شد. برای هر نمونه ۱۳ اکسید اصلی و ۳۸ عنصر فرعی و کمیاب اندازه گیری شد. ضمن ارسال نمونه‌ها به صورت چیپس و بنابر گزارش آزمایشگاه به صورت پودری آزمایش انجام شده است.

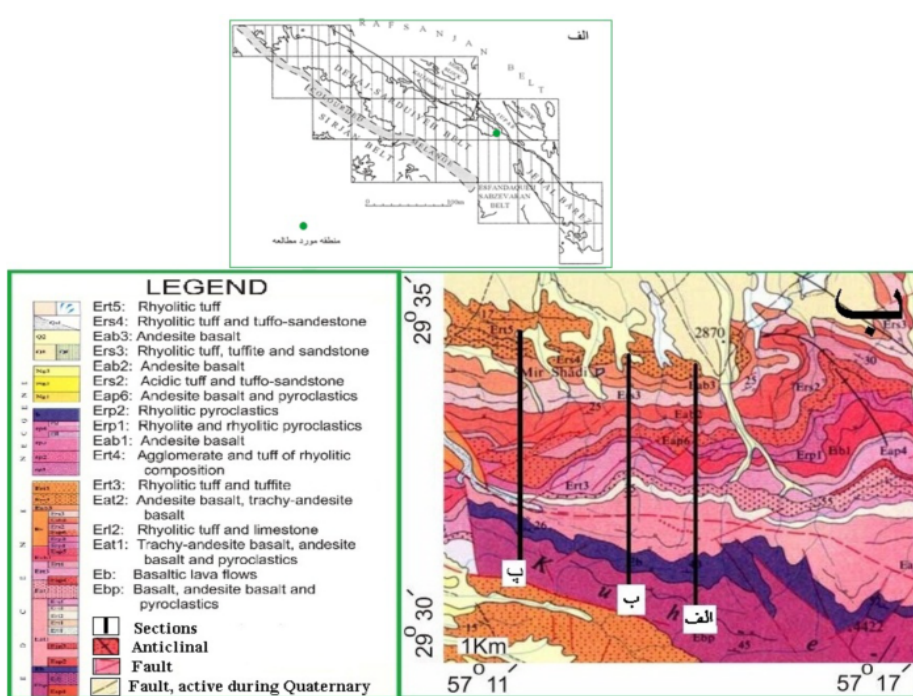
*تویینده مسئول، تلفن: ۰۳۴۳۳۲۲۰۰۴۱، پست الکترونیکی: Khajehjavaran.z@gmail.com

ویژگی‌های صحرایی

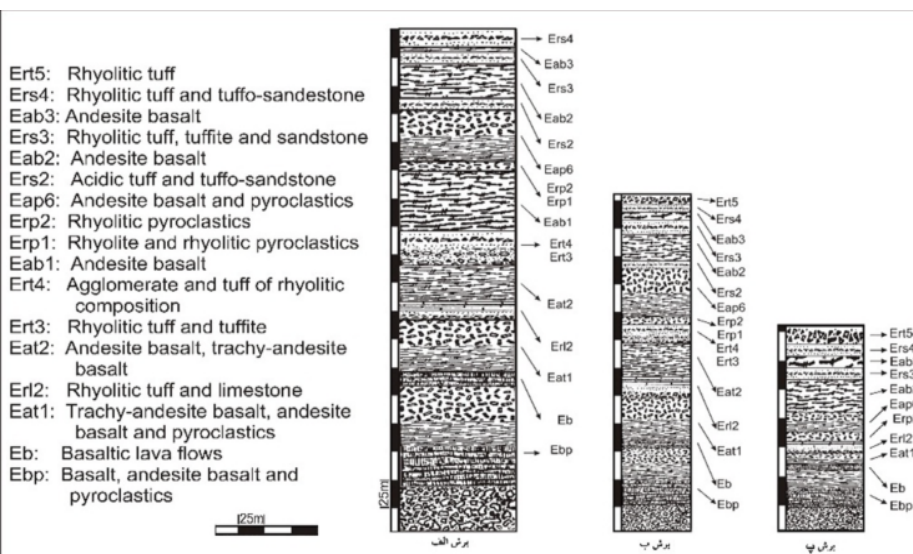
منطقه‌ی مورد بررسی بخشی از همبافت هزار است که به صورت تناوبی از گدازه، آذرآواری و رسوبی است. در شکل ۱ موقعیت و نقشه‌ی زمین‌شناسی منطقه روی نوار دهچ-ساردوئیه و سه برش زده شده از آن آورده شده است که با رسم تصاویر نموداری از آن‌ها در شکل ۲ جزئیات تناوب لایه‌بندی به‌طور دقیق نشان داده شده است.

موقعیت جغرافیایی و زمین‌شناسی منطقه

بخش مرکزی راین در ۱۱۶ کیلومتری جنوب کرمان قرار گرفته و بلندترین ارتفاع این منطقه ۴۴۶۵ متر [۲] از سطح دریاست. وسعت منطقه‌ی کوه هزار ۹۰۰ کیلومتر مربع و بر اثر آتشفشن‌های اوسن شکل گرفته و در الیگومن پایانی چین-خوردگی پیدا کرده است [۳].



شکل ۱ (الف) موقعیت منطقه‌ی روی نوار دهچ-ساردوئیه [۲] (ب) نقشه‌ی زمین‌شناسی منطقه روی نوار دهچ-ساردوئیه [۲].



شکل ۲ سنگ‌شناسی برش‌های الف با ضخامت ۴۴۵ متر، ب با ضخامت ۳۰۵ متر و پ با ضخامت ۱۸۰ متر از منطقه‌ی مورد بررسی.

ساختار لایه‌بندی مسطح ولی کمی موج‌دار، لایه‌بندی متقطع و تدریجی، موجی بودن، گردشگی و لایه‌های توده‌ای است و نهشتلهای جریانی دیگر پیروکلاستی پومیسی یا ایگنمبریت‌ها هستند که حاوی قطعات سنگی، بلور، خاکستر و پومیس‌اند. پومیس‌ها کشیده و گاهی جهت یافته‌اند (شکل ۳ب). بر اساس رده بندی ژنتیکی نهشتلهای آذرآواری [۴]، پیروکلاستیک‌های ریزشی منطقه جزء برش‌های پیروکلاستی و پیروکلاستیک‌های جریانی جزء آگلومراها (قلوه‌های گرد) محسوب می‌شوند.

سنگ نگاری گدازه‌های منطقه مورد بررسی

از مهم‌ترین نشانه‌های گدازه‌های این منطقه ستون‌های منشوری که ارتفاع آن‌ها گاه تا ۱/۵ متر می‌رسد، و درشتی پلازیوکلازهای منطقه حتی تا ۳ سانتی‌متر در تراکی آندزیت‌ها (شکل ۴) است. تبلور درشت بلورهای موجود در مagmaها می‌تواند هم حین توقف magma در اتاق‌های magmaی و هم حین صعود magma در مجرای صعودی صورت گیرد [۵].

در بعضی مناطق در حدفاصل نهشتله، خاک‌های قدیمی سرخ‌رنگ (پالئوسول) را می‌توان دید (شکل ۳الف). با توجه به اینکه بیشتر تشکیلات منطقه را پیروکلاستیک‌ها تشکیل می‌دهند، بنابراین به بررسی مختصراً در مورد آن‌ها می‌پردازیم. در بررسی صحراهی منطقه، بیشتر به جنبه‌های فیزیکی، ترکیب و درصد نسبی انواع قطعات آذرآواری توجه شده است. به طور کلی نهشتلهای پیروکلاستیک منطقه را می‌توان به دو گروه نهشتلهای پیروکلاستیک ریزشی و جریانی رده‌بندی کرد. نهشتلهای پیروکلاستیک ریزشی به رنگ سبز، قرمز و یا خاکستری است، نهشتلهای خاکستری، نیمه‌جوش‌خورده و نهشتلهای سبز و سرخ کاملاً جوش‌خورده هستند. نهشتلهای پیروکلاستیک جریانی، منظره‌ی توده‌مانند، جورش‌گی خیلی ضعیف، جوش‌خورده و گردش‌گی ضعیف دارند. پیروکلاستیک‌های جریانی شامل، نهشتلهای پیروکلاستی موجی یا خیزآبی هستند که در مقایسه با جریان‌های دیگر پیروکلاستیکی از چگالی کمتری برخوردارند. از ویژگی‌های موجو در آن‌ها



شکل ۳ (الف) پالئوسول، دید به سمت شمال و به طرف قله ب) فیام‌ها به همراه پومیس‌های تقریباً گرد شده.

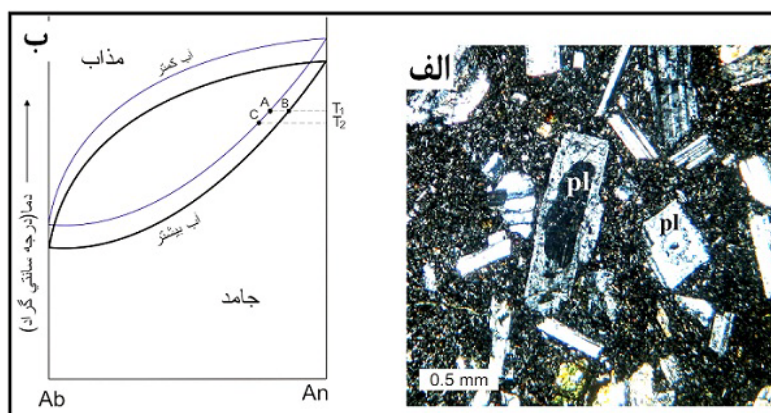


شکل ۴ بلورهای درشت پلازیوکلاز حتی تا سه سانتی‌متر در تراکی آندزیت‌ها.

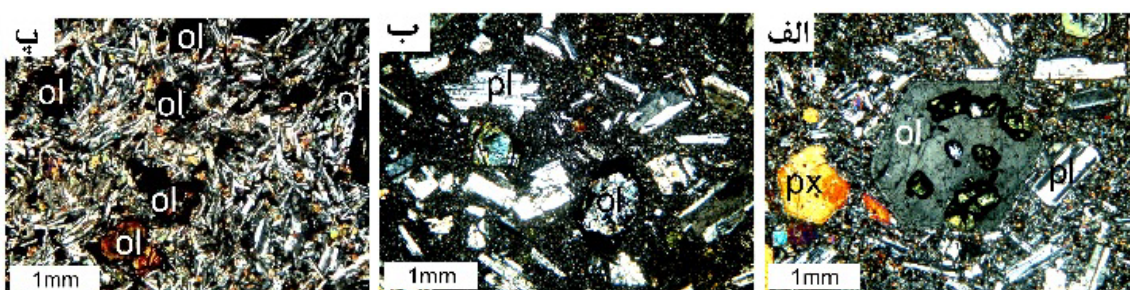
H_2O در محیط اطراف بلور افزایش یافته و درنتیجه منحنی-های انجماد و آبگونی سیر نزولی نشان می‌دهند (شکل ۵). همچنین تغییرات متناوب در میزان مواد فرار موجود در کنار بلورها موجب تراکم مدام است. جریان‌های همرفتی شده و در نتیجه موجب نوسان در پلازیوکلازها می‌شود [۷]. کانی‌های پیروکسن به صورت فنوکریست و ریز بلور هستند. متوسط اندازه‌ی آن‌ها ۰.۰۵ تا $0.5/3$ میلی‌متر است، حدود ۳۰-۱۵ درصد حجمی سنگ‌ها را اشغال کرده‌اند و دارای ردهای ساده، دوتایی و ساعت شنی هستند. بر اساس زاویه خاموشی (۴۰-۴۵ درجه) و رنگ تداخلی (سری دوم)، کلینوپیروکسن‌ها از نوع اوژیت-دیوپسید هستند. کانی‌های الیوین به صورت فنوکریست‌اند و در اثر دگرسانی شدید به شکل‌های دروغین بولنزیت، ایدنگریت، سرپانتین، کلریت و کدر تبدیل شده‌اند (شکل ۶). این کانی-۸-۰ درصد حجمی سنگ را در بر گرفته است. بازالت‌ها دارای بافت‌های گلومروبورفیری، تراکیت جریانی، پورفیری، پوئی کلیتیک، میان سیارهای، میان‌دانهای و بادامکی هستند (شکل ۷).

در این صورت هم اندازه و هم شکل دانه‌ها نیز تحت تأثیر عوامل مؤثر بر تبلور از تنوع بالایی برخودار است [۵]. درشت-شدگی نیز بستگی به میزان هسته بندی دارد، هر چه تعداد هسته‌ها کم باشد بلورها درشت‌تر می‌شوند. تشکیل درشت بلورهای پلازیوکلاز متأثر از ترکیب شیمیایی ماقما و احتمالاً تبلور در فشار کم است [۶]. در منطقه‌ی مورد بررسی چهار نوع گذاره‌ی بازالتی، بازالتیک تراکی آندزیت، تراکی بازالت و تراکی-آندزیت به صورت زیر شناسایی شده‌اند.

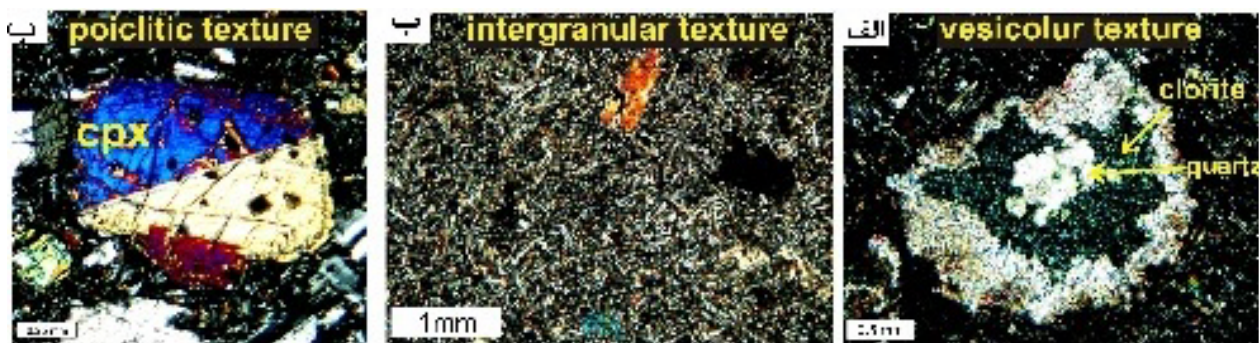
- کانی‌شناسی بازالت‌ها: کانی‌های اصلی پلازیوکلازها، پیروکسن و گاهی الیوین‌های دگرسان شده هستند. کانی پلازیوکلاز به صورت میکرولیت و فنوکریست بوده و بافت‌های اینترسربال و میان دانه‌ای را تشکیل می‌دهند و حدود ۶۰ درصد از حجم سنگ را در بر گرفته‌اند. اندازه‌ی آن‌ها $0.5/3 - 0.3$ میلی‌متر و با توجه به زاویه خاموشی (۲۰-۳۲ درجه) در حد آندزین تا لابرادوریت هستند. تشکیل منطقه‌بندی نوسانی و بافت‌های غربالی در بلورها با توجه به کانی‌های آبدار به احتمال زیاد به تغییرات فشار H_2O وابسته است. هنگام رشد بلورها غلظت



شکل ۵ (الف) منطقه‌بندی نوسانی و بافت غربالی در بلورهای پلازیوکلاز (pl) (XPL; F.W. $1.75 \times 2.5 \text{ mm}^2$) (ب) تأثیر تبلور غیرتعادلی در ایجاد منطقه‌بندی نوسانی.



شکل ۶ دگرسانی در الیوین‌ها (الیوین: ol، پیروکسن: px، پلازیوکلاز: pl) (الف) اپیدوت و کلریت (ب) سرپانتین و اپاک (پ) ایدنگریت (C) (XPL; F.W. $1.75 \times 2.5 \text{ mm}^2$).

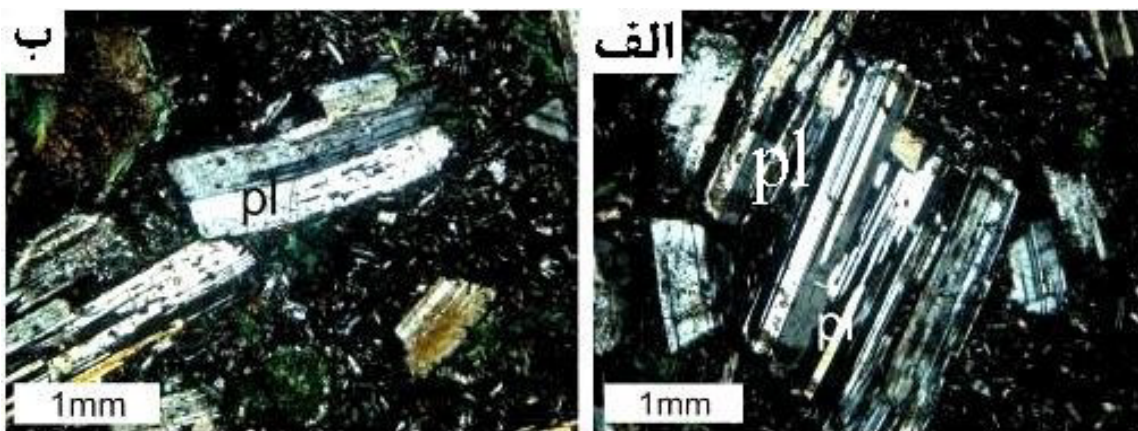


شکل ۷ (الف) بافت بادامکی (ب) بافت میان دانه‌ای (پ) بافت پوئی‌کلیتیک (کلینوپیروکسن: cpx). (XPL; F.W. $1.75 \times 2.5 \text{ mm}^2$).

شده هستند. پلازیوکلازها به صورت فنوکریست و کهنسنگ دیده می‌شوند. اندازه‌ی آن‌ها $3-10 \text{ cm}$ سانتی‌متر است. بر اساس زاویه‌ی خاموشی ($30-40^\circ$ درجه)، از نوع لابرادوریت هستند. که به صورت رده‌های مکرر و کارلسbad (شکل ۸ الف) و گاهی دارای خمیدگی هستند (شکل ۸ ب). دگرسانی سوسوریتی در مرکز بلور نشان‌دهنده کلسیکتر بودن مرکز بلور است. بلورهای درشت فلدسپات پتاسیم (سانیدین) به صورت درشت بلور در سنگ حضور دارند و اندازه‌ی آن‌ها بین $1-5 \text{ mm}$ می‌باشد. کانی‌های پیروکسن به صورت درشت بلور و در زمینه وجود دارند و حدود $20-30 \text{ mm}$ درصد حجمی سنگ را تشکیل می‌دهند. میانگین اندازه‌ی آن‌ها $7-10 \text{ mm}$ می‌باشد و دارای رد دوتایی، منطقه‌بندی و شکستگی هستند. بر اساس زاویه‌ی خاموشی، درشت‌بلورها ($38-43^\circ$ درجه) و رنگ تداخلی نارنجی تا ارغوانی سری دوم، کلینوپیروکسن‌ها از نوع اوژیت - دیوپسید هستند. این سنگ‌ها دارای بافت‌های پورفیری، جریانی، گلومروپورفیری و ساب‌افتیک هستند.

- کانی‌شناختی بازلیک تراکی آندزیت: کانی‌های اصلی پلازیوکلاز، پیروکسن و الیوین‌های دگرسان شده هستند. کانی پلازیوکلاز به صورت ریزبلور و فنوکریست بوده که اندازه‌ی ریزبلورها $2-8 \text{ mm}$ می‌باشد و فنوکریست‌ها $5-10 \text{ mm}$ است. بر اساس زاویه‌ی خاموشی فنوکریست‌ها $27-40^\circ$ درجه، پلازیوکلاز از نوع الیگوکلاز - آندزین هستند و دارای دگرسانی سوسوریتی ماکل مکرر یا ماکل مکرر - کارلسbad هستند. از جمله بافت‌های غیر تعادلی در اکثر فنوکریست‌ها بافت غربالی یا انحلالی است. کانی پیروکسن به صورت درشت بلور $2-5 \text{ mm}$ می‌باشد. پرکننده فضای بین کانی‌های زمینه دیده می‌شود. با توجه به زاویه‌ی خاموشی درشت بلورها $45-80^\circ$ درجه) و رنگ تداخلی نارنجی تا ارغوانی سری دوم، کلینوپیروکسن‌ها از نوع اوژیت - دیوپسید هستند. این سنگ‌ها دارای بافت‌های پورفیری، جریانی، ریزدانه‌های بی‌نظم، دانه‌های منشوری درهم و گلومروپورفیری باشند.

- کانی‌شناختی تراکی بازالت: کانی‌های اصلی پلازیوکلاز، فلدسپات‌های پتاسیم‌دار، پیروکسن و گاهی الیوین‌های دگرسان



شکل ۸ (الف) رد پلی‌سنتیک در پلازیوکلاز (pl) (ب) خمیدگی در بلور پلازیوکلاز (pl).

تشکیل می‌دهند. اندازه‌ی درشت‌بلورها از ۰/۱ تا ۱/۳ میلی‌متر و با توجه به زاویه‌ی خاموشی (۴۰-۴۴ درجه) و رنگ تداخلی سری دوم، کلینوپیروکسن‌ها از نوع اوژیت- دیوپسید هستند. کانی‌های تیره آبدار به شدت تحت تأثیر فرآیند کدر شدن قرار گرفته‌اند و با توجه به شکل قالب‌ها از جنس آمفیبول و بیوتیت هستند. این سنگ‌ها دارای بافت‌های پورفیری، جریانی و گلومروپورفیری هستند.

ژئوشیمی و سنگ‌زایی

با توجه به این که بخش زیادی از گدازه‌های منطقه دارای زمینه شیشه‌ای و بسیار ریزدانه‌اند، برای بررسی دقیق‌تر خاستگاه، از ترکیب شیمیایی سنگ کل استفاده کردیم (جدول ۱).

- کانی‌شناسی تراکی آندزیت: کانی‌های اصلی پلازیوکلاز، فلدسپات پتاسیم‌دار، از پیروکسن و کانی‌های تیره‌ی آبدار (آمفیبول و بیوتیت) تشکیل شده‌اند. کانی‌های پلازیوکلاز به صورت فنوکریست، ریزبلور و در زمینه وجود دارند و در حدود ۵۰-۷۰ درصد حجمی سنگ‌ها را تشکیل می‌دهند. اندازه‌ی فنوکریست‌ها از ۰/۵ تا ۱/۷ میلی‌متر تغییر می‌کند و بر اساس زاویه‌ی خاموشی (۱۷-۸ درجه)، از نوع پلازیوکلاز الیگوکلاز- آندزین است. بیشتر فنوکریست‌ها تحت تأثیر فرآیندهای کلسیتی‌شدن و رسی شدن قرار گرفته‌اند، و دارای ردی کارلسپاد و پلی‌ستنتیک، با بافت غربالی، منطقه‌بندی نوسانی، حاشیه‌های واکنشی‌اند. کانی‌های پیروکسن به صورت درشت‌بلور و ریزبلور وجود دارند و کمتر از ۲۰ درصد حجمی سنگ‌ها را

جدول ۱ نتایج تجزیه‌ی شیمیایی سنگ کل نمونه‌های منطقه (اکسیدها بر اساس درصد و عناصر براساس ppm).

	Rock name	Sy	Sample	SiO ₂	Al ₂ O ₃	FeO	Fe ₂ O ₃	CaO	MgO	Na ₂ O	K ₂ O	Cr ₂ O ₃	TiO ₂	MnO	P ₂ O ₅	SrO	BaO	LOI	Total
۱	T-Andesite	●	HMR-3-2	۵۹,۹	۱۶,۲۵	۳,۷۲	۲,۲۵	۴,۸۵	۱,۷۴	۲,۴۵	۳,۲۱	۰,۰۱	۰,۸	۰,۱۳	۰,۲۵	۰,۰۹	۰,۰۵	۲,۱۵	۹۹,۶
۲	Basalt	▲	HMR-6-2	۴۹,۶	۱۸,۲۵	۶,۶۶	۲,۸۴	۱,۰۱	۴,۱	۲,۷۲	۱,۴۴	۰,۰۱	۰,۹۹	۰,۱۷	۰,۲۶	۰,۰۶	۰,۰۴	۱,۷۶	۱۰۰
۳	Basalt	▲	HR-8-1	۴۸,۳	۱۸,۷۵	۵,۹۱	۳,۴۵	۹,۶۹	۳,۵۲	۴,۲۲	۰,۲۶	۰,۰۱	۱,۰۲	۰,۱۶	۰,۳۶	۰,۱	۰,۱	۴,۰۴	۹۹,۸
۴	Basalt	▲	HR-11-1	۴۹,۱	۱۷,۲	۷,۲۵	۳,۶	۹,۲۶	۶,۷۹	۱,۸۴	۰,۷۷	۰,۰۲	۰,۸۸	۰,۱۷	۰,۱۹	۰,۰۵	۰,۰۲	۳,۷۴	۱۰۰
۵	B-T-Andesite	■	HRM-5-3	۵۲,۴	۱۸,۵	۵,۲۱	۲,۷۲	۷,۵۹	۲,۴۱	۲,۴۵	۲,۵۷	۰,۰۱	۱,۱۴	۰,۱۴	۰,۴۴	۰,۰۷	۰,۰۴	۲,۰۹	۹۹,۸
۶	B-T-Andesite	■	HRZ-3-9	۵۲,۵	۱۶,۹	۶,۱	۲,۹۵	۸,۷۶	۴,۳۷	۳,۳	۱,۸۸	۰,۰۱	۱,۱۵	۰,۱۹	۰,۴۱	۰,۰۷	۰,۰۴	۰,۸	۱۰۰
۷	Basalt	▲	HRZ-9-9	۵۱,۹	۱۶,۸	۶,۱۶	۳,۹۴	۹,۶۷	۴,۴۷	۲,۲۱	۱,۷۷	۰,۰۱	۱,۰۶	۰,۱۷	۰,۳۵	۰,۰۶	۰,۰۳	۰,۹۹	۱۰۰
۸	Basalt	▲	HRZ-10-2	۴۸,۴	۱۶,۷۵	۶,۵۳	۳,۴۲	۱۲,۴	۴,۸	۲,۵۸	۰,۸۳	۰,۰۳	۰,۹۵	۰,۱۶	۰,۲	۰,۰۵	۰,۰۱	۳,۵۳	۱۰۰
۹	T-basalt	*	HRZ-11-2	۵۱,۱	۱۹,۸	۵,۲۱	۳,۴۳	۸,۸۲	۲,۸۱	۲,۹	۲,۵۷	۰,۰۱	۱,۰۸	۰,۱۶	۰,۳۴	۰,۰۸	۰,۰۵	۲,۰۴	۹۹,۵
۱۰	Basalt	▲	HS-2-3	۵۰,۲	۱۸	۷,۱۸	۳,۸۷	۸,۶۸	۳,۸۳	۲,۱۳	۰,۲۴	۰,۰۱	۱,۱۸	۰,۱۷	۰,۲۴	۰,۰۸	۰,۰۱	۱,۷۶	۹۸,۶
۱۱	Basalt	▲	HS-3-10	۵۰,۳	۱۷,۵۵	۸,۳۱	۴,۳۴	۹,۱۷	۴,۱۶	۲,۸۶	۰,۲۳	۰,۰۱	۱,۲۶	۰,۲۱	۰,۲۴	۰,۰۷	۰,۰۱	۱,۳۸	۱۰۰
۱۲	Basalt	▲	HS-4-4	۴۹,۶	۱۷,۲۵	۷,۰۵	۲,۸۵	۹,۴۸	۵,۳۶	۲,۴۴	۰,۶۲	۰,۰۲	۱,۱۸	۰,۱۸	۰,۲۷	۰,۰۶	۰,۰۲	۱,۴۹	۹۸,۷
۱۳	B-T-Andesite	■	HS-5-3	۵۶,۲	۱۸,۷	۳,۹۹	۲,۰۸	۶,۱۸	۲,۵	۲,۶۶	۲,۴۹	۰,۰۱	۰,۸۶	۰,۱۶	۰,۲۵	۰,۰۹	۰,۰۴	۱,۲۸	۹۹,۵
۱۴	B-T-Andesite	■	HS-5-7	۵۵,۱	۱۷,۳۵	۴,۷۳	۳,۴۳	۷,۷۵	۲,۹۸	۲,۹۸	۲,۷۱	۰,۰۱	۰,۹۳	۰,۱۵	۰,۲۹	۰,۰۶	۰,۰۴	۱,۲۹	۹۹,۸
۱۵	B-T-Andesite	■	HS-9-3	۵۴,۴	۹,۳	۴,۰۳	۲,۴۵	۶,۷۴	۱,۷۳	۲,۹۴	۲,۳۳	۰,۰۱	۰,۹۸	۰,۱۵	۰,۳۳	۰,۰۹	۰,۰۶	۲,۱۴	۱۰۰

دادمه جدول ۱

name	V	Cr	Co	Ni	Cu	Zn	Ga	Rb	Sr	Y	Zr	Nb	Mo	Ag	Sn	Cs	Ba	La	Hf	Ta	W	Tl	Pb
۱	۹۶	۲۰	۱۳	۵	۲۹	۱۰۵	۱۹,۵	۷۹,۲	۷۰۳	۳۱,۱	۲۲۲	۱۱,۲	۲	۱	۲	۵,۳۳	۵۲۶	۲۷,۵	۵,۷	۰,۸	۱	۰,۵	۱۸
۲	۲۸۲	۴۰	۲۰,۸	۲۰	۱۷	۱۰,۶	۱۸,۶	۳۰,۵	۴۹۸	۲۱,۶	۹۲	۴,۷	۲	۱	۱	۲,۱۷	۴۵۱	۱۵,۴	۲,۶	۰,۳	۱	۰,۵	۸
۳	۲۰۱	۶۰	۲۵,۱	۲۶	۸,۷	۱۰,۸	۱۹,۱	۱,۷	۸۰۲	۲۶,۸	۱۶۲	۹,۳	۲	۱	۲	۱,۵	۱۹۳,۵	۲۶,۳	۴	۰,۶	۲	۰,۵	۱۲
۴	۲۲۲	۱۲۰	۳۷,۹	۵۴	۸,۹	۹,۶	۱۷,۱	۱۱,۳	۳۹۷	۱۸,۲	۶۴	۲,۳	۲	۱	۱	۶,۴۸	۲۸۳	۹,۱	۱,۹	۰,۲	۱	۰,۵	۵
۵	۱۷۶	۲۰	۲۵	۸	۱۷۸	۱۱۸	۱۹,۹	۷۱,۸	۵۰,۹	۳۵۳	۱۶۱	۷,۷	۲	۱	۲	۱,۱۷	۴۵۵	۲۵	۴,۴	۰,۵	۱	۰,۵	۱۵
۶	۲۱۴	۵۰	۲۷,۳	۲۲	۹۱	۱۱۳	۱۷,۸	۵۴,۹	۵۱۴	۲۶,۳	۱۲۲	۷	۲	۱	۱	۲,۷۶	۴۱۴	۲۰,۲	۳,۳	۰,۵	۱	۰,۵	۱۰
۷	۲۲۳	۶۰	۲۸,۶	۲۲	۱۰۲	۱۰,۱	۱۷,۸	۵۰,۲	۵۰۲	۲۲,۸	۱۰۸	۶,۲	۲	۱	۱	۱,۶۴	۳۹۰	۱۸,۶	۲,۹	۰,۴	۱	۰,۵	۱۱
۸	۲۲۹	۱۸۰	۳۴,۷	۸۵	۱۰۰	۹۱	۱۷,۲	۱۸,۵	۳۸۹	۲۰,۴	۷۹	۲,۹	۲	۱	۱	۰,۸۴	۱۸۰	۱۱	۲,۲	۰,۳	۱	۰,۵	۶
۹	۱۸۷	۲۰	۲۰,۸	۱۱	۳۱	۱۰,۵	۲۱,۲	۷۲,۴	۶۰,۶	۲۹,۶	۱۷۰	۹,۵	۲	۱	۱	۲,۳۶	۴۹۸	۲۴,۹	۴,۵	۰,۶	۱	۰,۵	۱۳
۱۰	۲۷۰	۲۰	۲۸,۵	۱۱	۱۲۰	۱۲۳	۲۰,۴	۳,۱	۶۵۹	۲۶,۷	۱۰۵	۶,۱	۲	۱	۱	۰,۶۹	۱۸۱,۵	۲۰	۳	۰,۴	۱	۰,۵	۱۳
۱۱	۲۹۷	۱۰	۲۶,۱	۹	۶۹	۱۳۹	۲۰,۵	۱,۹	۵۴۰	۲۷,۱	۹۰	۴,۴	۲	۱	۱	۰,۹۹	۱۷۴	۱۲,۱	۲,۷	۰,۳	۱	۰,۵	۶
۱۲	۲۷۳	۱۱۰	۳۴,۲	۴۰	۶۸	۱۱۳	۱۹,۴	۷,۳	۴۳۹	۲۵۶	۱۰۱	۴,۷	۲	۱	۱	۲,۲۸	۲۴۳	۱۳,۲	۲,۸	۰,۳	۱	۰,۵	۹
۱۳	۱۲۸	۲۰	۱۴,۴	۶	۴۳۹	۹۷	۲۰,۴	۵۹,۱	۷۷۴	۲۹,۶	۱۹۱	۱۰,۵	۲	۱	۲	۲,۷۷	۴۵۷	۲۵,۷	۵,۱	۰,۷	۱	۰,۵	۱۴
۱۴	۱۵۶	۵۰	۲۳	۲۱	۲۱	۱۰,۷	۱۸,۸	۷۳,۱	۴۸۱	۲۹,۳	۱۷۲	۹,۲	۲	۱	۲	۳,۴۷	۴۶۶	۲۴,۲	۴,۵	۰,۶	۱	۰,۵	۱۲
۱۵	۱۲۰	۱۰	۱۷	۵	۳۸	۱۰,۵	۱۹,۵	۴۶,۲	۷۰,۹	۲۹,۵	۱۷۲	۹,۹	۲	۱	۲	۵,۴۷	۶۳۰	۲۷,۶	۴,۴	۰,۶	۱	۰,۵	۱۳

ادامه جدول ۱

name	Ce	Pr	Nd	Sm	Eu	Gd	Tb	Dy	Ho	Er	Tm	Yb	Lu	Th	U
۱	۵۴.۲	۶.۵۶	۲۴.۵	۵.۰۵	۱.۳۷	۵.۶۶	۰.۸۹	۰.۶	۱.۱۷	۳.۶۲	۰.۵۷	۳.۶۳	۰.۵۶	۱۳.۱	۳.۲۳
۲	۳۲	۴.۱۹	۱۷.۲	۲.۸۴	۱.۲۲	۴	۰.۶۳	۴.۰۴	۰.۸	۲.۴۲	۰.۳۵	۲.۳۶	۰.۳۴	۳.۳۲	۰.۸۶
۳	۵۳.۲	۶.۵۷	۲۸.۵	۵.۳۲	۱.۵۷	۵.۴۶	۰.۸۴	۴.۸۶	۱.۰۱	۲.۹۸	۰.۴۵	۲.۹۳	۰.۴۵	۷.۳۷	۱.۸۷
۴	۲۰.۶	۲.۹۱	۱۲.۷	۲.۰۶	۱.۰۸	۳.۳۲	۰.۵۷	۳.۵۱	۰.۷۴	۲.۱۷	۰.۳۲	۲.۰۸	۰.۳	۲.۲۱	۰.۴۶
۵	۵۳.۱	۶.۹۶	۲۷.۸	۶.۲۷	۱.۶۳	۶.۶۴	۱.۰۶	۶.۳۸	۱.۳۲	۳.۹۲	۰.۵۷	۳.۷۴	۰.۵۵	۸.۳۲	۱.۹
۶	۴۲	۵.۴۲	۲۱.۹	۴.۷۸	۱.۴۷	۵.۰۴	۰.۷۹	۴.۷۵	۰.۹۸	۲.۹۳	۰.۴۴	۲.۷۸	۰.۴۳	۵.۴۷	۱.۳۵
۷	۳۸.۱	۴.۸۴	۱۹.۹	۴.۴	۱.۴۲	۴.۶۹	۰.۷۴	۴.۵۳	۰.۸۷	۲.۶۹	۰.۳۹	۲.۷۸	۰.۳۷	۴.۵۶	۱.۱۶
۸	۲۳.۶	۳.۲۶	۱۳.۴	۳.۱۸	۱.۱	۳.۴۹	۰.۵۹	۳.۷۱	۰.۷۶	۲.۳۶	۰.۳۵	۲.۷۸	۰.۳۳	۱.۷۷	۰.۶
۹	۵۰.۳	۶.۲۴	۲۵	۵.۲۹	۱.۴۹	۵.۴۹	۰.۸۹	۵.۳	۱.۰۷	۲.۳۴	۰.۴۸	۲.۷۸	۰.۴۷	۸.۰۵	۱.۹۸
۱۰	۴۰.۹	۵.۳۲	۲۱.۲	۴.۷	۱.۴۵	۴.۹۶	۰.۸	۵.۰۲	۰.۹۸	۳.۴	۰.۴۴	۲.۷۸	۰.۴۳	۵.۳۱	۱.۳۲
۱۱	۲۷	۳.۷۴	۱۶.۷	۴.۲۴	۱.۳۷	۴.۶	۰.۷۹	۴.۹۶	۱.۰۲	۳.۰۷	۰.۴۵	۲.۷۸	۰.۴۳	۲.۹۳	۰.۹۲
۱۲	۲۸.۸	۳.۸۷	۱۶.۷	۴	۱.۳۱	۴.۲۳	۰.۷۲	۴.۵۵	۰.۹۴	۲.۷۹	۰.۴۱	۲.۷۸	۰.۴۱	۳.۰۲	۰.۸۱
۱۳	۵۱	۶.۲۷	۲۴.۱	۵.۱۹	۱.۳۵	۵.۴	۰.۸۶	۵.۲۴	۱.۰۶	۳.۲۸	۰.۵	۲.۷۸	۰.۵۱	۹.۳۴	۲.۳۱
۱۴	۴۹.۱	۶.۱۸	۲۴.۷	۵.۱۹	۱.۳۹	۵.۲۸	۰.۸۴	۵.۳	۱.۰۹	۳.۳۳	۰.۵۱	۲.۷۸	۰.۵	۸.۱۴	۱.۹۷
۱۵	۵۵.۷	۷.۰۲	۲۷.۴	۵.۷۲	۱.۶۴	۵.۸۶	۰.۹	۵.۵۴	۱.۱۲	۳.۴۲	۰.۵۲	۲.۷۸	۰.۵	۷.۹۳	۲.۰۲

بیشترین حد خود بوده و با پیشرفت جدایش، بلوری این نسبت‌ها کم می‌شود. لذا بیشترین مقدار نیکل به‌وسیله کانی‌های منیزیمی‌دار با دمای، به خصوص الیوین و پیروکسن و بیشترین مقدار کجالت به‌وسیله الیوین، از مagma خارج می‌شود [۱۲]. با پیشرفت جدایش، نسبت SiO_2 به $\text{Rb}:\text{K}_2\text{O}$ (شکل ۱۲ پ) نیز زیاد می‌شود.

بر اساس نمودار Th/Yb , Ta/Yb [۱۳] (شکل ۱۳ الف) سنگ‌ها در گستره‌ی آهکی-قلیابی قرار می‌گیرند. بر اساس نمودار AFM [۱۴]؛ سنگ‌ها در مرز سری آهکی-قلیابی و نمودار AFM [۱۵] سنگ‌ها در ارتباط با قوس آتش-نمودار $\text{Hf}/\text{Th}-\text{Ta}$ [۱۵] (شکل ۱۴ ب). در نمودار $\text{Cr}-\text{Y}$ [۱۶] (شکل ۱۵ الف)، نمونه‌های مورد بررسی در منطقه‌ی بازالت‌های قوس آتش‌فشنایی قرار دارند که غلظت‌های پایین Cr در بازالت-قوس آتش‌فشنایی نسبت به انواع دیگر بازالت‌ها در تعدادی از نمودارهای متمایز کننده برای تعیین بازالت‌های قوس آتش-فشنایی به کار می‌روند [۱۷]. دامنه‌ی گستردگی مقدار Cr در گستره‌ی بازالت‌های قوس آتش‌فشنایی به صورت مؤثری از جدایش بلوری ناشی می‌شود و نشان می‌دهد که Cr شاخص جدایشی مناسبی در این سنگ‌هاست.

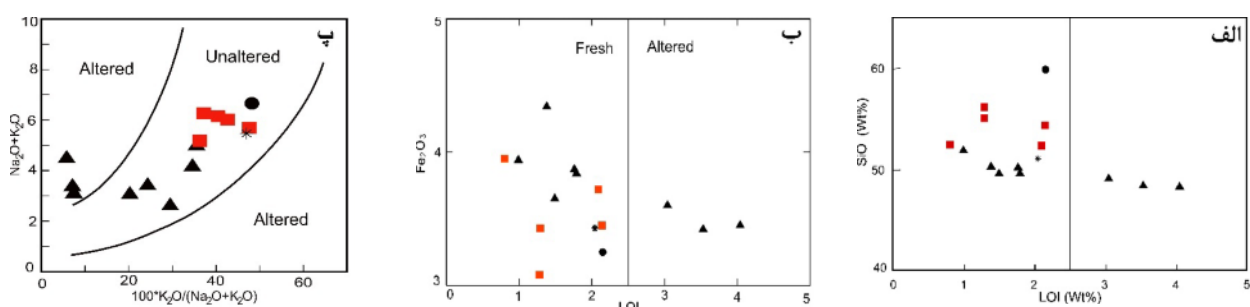
بر اساس بررسی‌های [۸] نمودار تغییرات SiO_2 در مقابل L.O.I^1 (شکل ۹ الف)، نمودار تغییرات Fe_2O_3 در مقابل L.O.I (شکل ۹ ب) و نمودار $\text{Na}_2\text{O}+\text{K}_2\text{O}$ در برابر $100\text{Na}_2\text{O}/(\text{Na}_2\text{O}+\text{K}_2\text{O})$ (شکل ۹ پ) ترسیم شده‌اند که بر این اساس نمودارها بیشتر در بخش دگرسان‌نشده‌ها قرار می‌گیرند. به جز چند نمونه بازالت که احتمالاً به دلیل دگرسانی آنهاست. در نمودار $\text{Na}_2\text{O}+\text{K}_2\text{O}-\text{SiO}_2$ [۱۰] نمونه‌ها در گستره‌ی بازالت، بازالت‌تراکی آندزیت، تراکی آندزیت و تراکی-بازالت قرار می‌گیرند (شکل ۱۰). مقدار ضریب انجام‌داد نمونه‌ها $\text{I.S}^2=100\text{MgO}/\text{MgO}+\text{FeO}+\text{Fe}_2\text{O}_3+\text{Na}_2\text{O}+\text{K}_2\text{O}$ [۱۱] (جدول ۲)، کمتر از ۳۵ است که نشان دهنده‌ی نوع جدا شده هستند. به منظور بررسی روند جدایش نمونه‌ها، رفتار MgO , CaO , $\text{Zr}-\text{Yb}$ -نمایانی عناصر نسبت به SiO_2 بررسی شد: MgO , CaO , Co-Ni-V , Fe_2O_3 , FeO , MnO , TiO_2 و Na_2O , K_2O و عناصر فرعی و کمیاب دیگر مانند Rb-Zr - Th-U-La-Yb روند سعودی (شکل ۱۱)، از سمت بازالت به سمت تراکی آندزیت را نشان می‌دهند. از بررسی این روندها می‌توان استنباط کرد که به احتمال زیاد، گدازه‌ها طی جدایش از گدازه‌های بازالت الیوین دار ایجاد شده‌اند.

نسبت $\text{Ni}:\text{MgO}$ به SiO_2 (شکل ۱۲ الف) و نسبت $\text{Co}:\text{Fe}_2\text{O}_3$ به SiO_2 (شکل ۱۲ ب) در اوایل جدایش مagma در

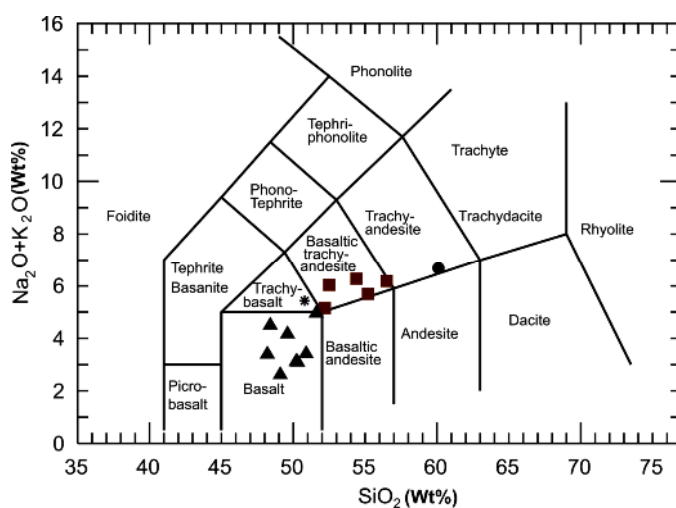
1- Loss on ignition

2- Solidification index

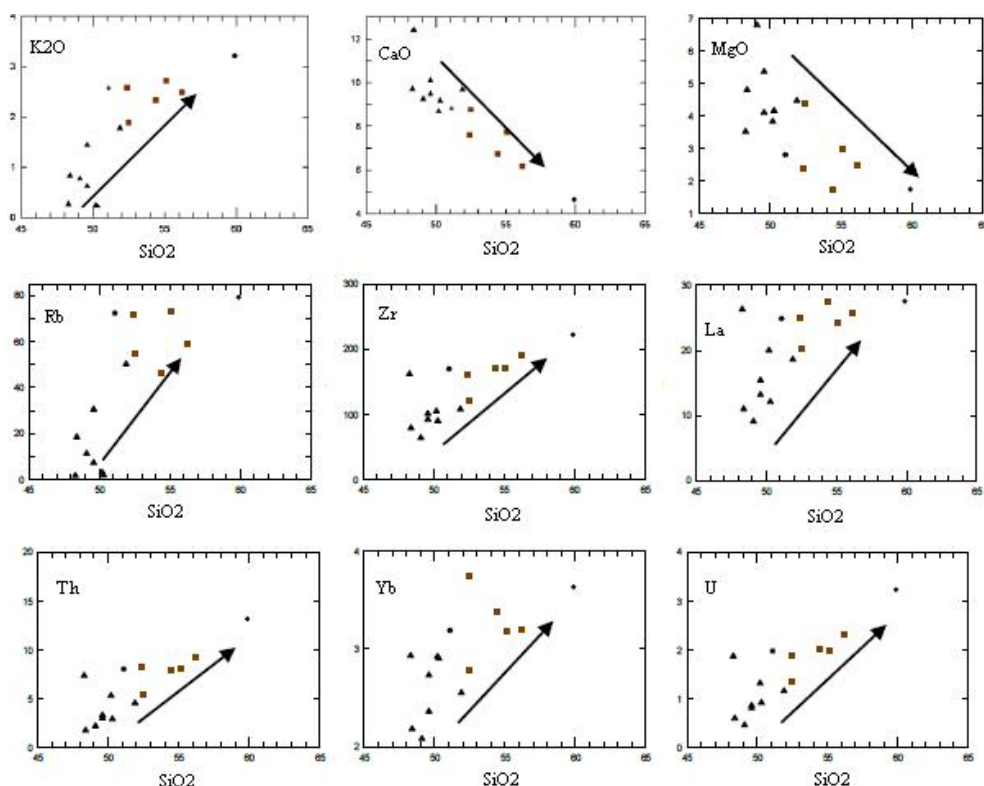
3 - Differentiation



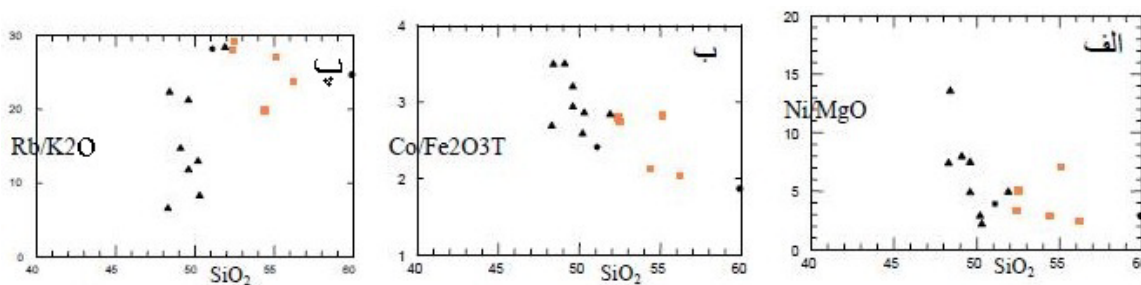
شکل ۹ الف) SiO_2 و ب) Fe_2O_3 در مقابل $100\text{Na}_2\text{O}/(\text{Na}_2\text{O}+\text{K}_2\text{O})$ (علائم طبق جدول ۱).



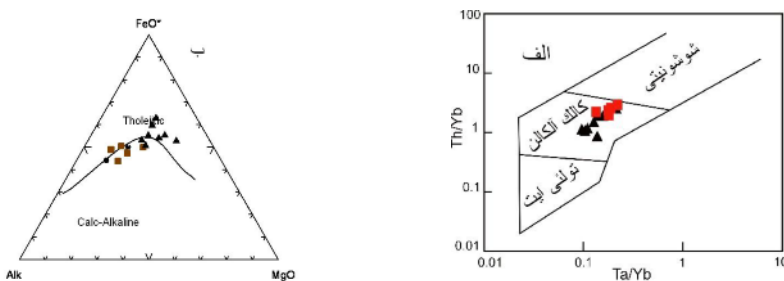
شکل ۱۰ موقعیت سنگ‌های آتشفشاری منطقه هزار در تقسیم‌بندی [۱۰] (علائم مشابه جدول ۱).



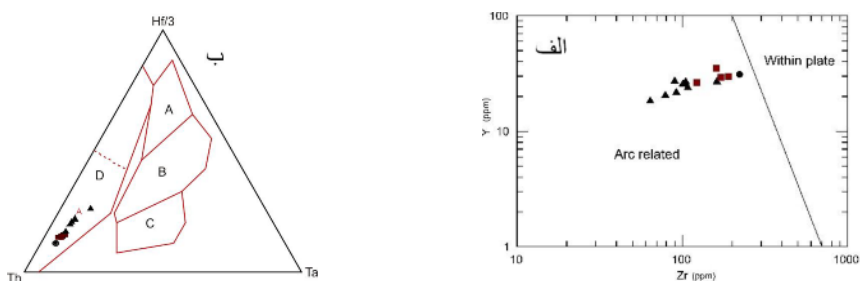
شکل ۱۱ تغییرات اکسیدهای اصلی و عناصر فرعی و کمیاب در برابر درصد وزنی SiO_2 گذاره‌های منطقه (علائم مشابه جدول ۱)



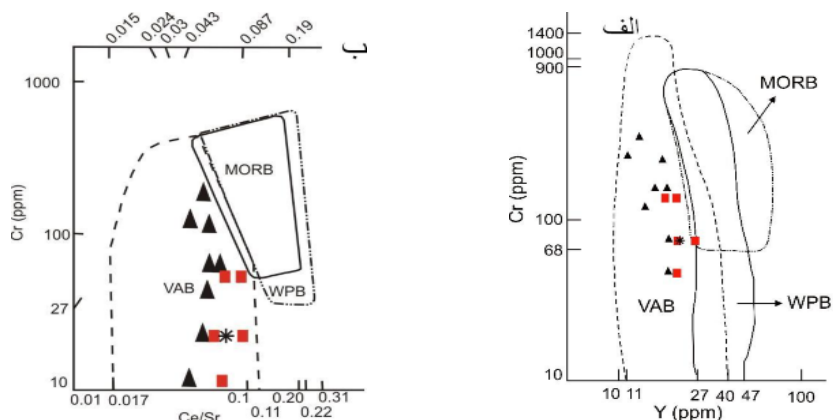
شکل ۱۲ (الف) نسبت Ni/MgO در مقابل O-Si₂O در مقابله با Rb/K₂O (ب) نسبت Co/Fe₂O₃ در مقابل O-Si₂O در مقابله با Ni/MgO (پ) نسبت O-Si₂O در مقابل Co/Fe₂O₃



شکل ۱۳ (الف) تعیین سری ماقمایی براساس نمودار .Na₂O+K₂O-FeO-MgO (ب) تعیین سری ماقمایی براساس نمودار Th/Yb ، Ta/Yb و (پ) براساس نمودار



شکل ۱۴ (الف) تعیین موقعیت زمین‌ساختی بر اساس نمودار Y, Zr و (ب) با استفاده از نمودار Hf/3-Th-Ta. MORB.A. Hf/3-Th-Ta نوع ⁴N-MORB.B. بازالت‌های قلیابی داخل صفحه‌ای؛ C، بازالت‌های قلیابی درون صفحه‌ای؛ D، بازالت‌های قوس‌آتش‌شانی. نوع E⁶ و تولیت‌های درون صفحه‌ای.



شکل ۱۵ (الف) تعیین موقعیت زمین‌ساختی با استفاده از نمودار گستره‌های MORB، بازالت‌های قوس‌آتش‌شانی (VAB) و بازالت‌های درون صفحه‌ای (WPB) (ب) با استفاده از نمودار Cr-Ce/Sr (علائم مشابه جدول ۱).

4- Mid-Oceanic Ridge Basalt

5- Normal Type

6- Enriched Type

7- Volcanic Arc Basalt

8- Within Plate Basalt

جایگزین Ca در کانی‌های کلسیم‌دار می‌شود. U، Th غنی‌شدگی یکسانی دارند که می‌تواند به دلیل جاوشینی این عناصر با عنصر K در کانی‌های پتاسیم‌دار باشد.

در شکل ۱۷ نیز تعدادی از عناصر خاکی نادر نسبت به کندریت هنجار شده‌اند. بجز Ti, Ta, Nb تمامی عناصر خاکی نسبت به عناصر مشابه خود در کندریت غنی‌شدگی نشان می‌دهند. غنی‌شدگی سنگ خاستگاه اولیه نسبت به عناصر سبک و سنگین و نیز جدایش در ماقماهی مادر می‌تواند عامل این غنی‌شدگی باشد. حالت خاص دیگر از جابجا شدن عناصر کمیاب، به آبزدایی صفحه‌ی اقیانوسی فورانده وابسته است که می‌توانند باعث ایجاد ماقماهی آهکلی- قلیایی شود. [۲۴]، معتقد است که در چنین محیط‌هایی عناصر Sr, Th, Ba, Rb, K, P, Ce و Sm ممکن است به حرکت درآیند.

الگوی تغییرات REE^{۱۴} در سنگ‌های بازالتی هنجار شده بر اساس کندریت ناکامورا^{۱۵} [۲۵] در شکل ۱۸ نشان داده شد. الگوی ترسیم شده برای هر چهار نوع ترکیب سنگی مشابه هستند که نشان از خاستگاه مشترک آن‌ها دارد. در هر چهار گروه، درجات بالایی از غنی‌شدگی LREE^{۱۶} نسبت به HREE^{۱۷} وجود دارد و عناصر نادر سنگین تهی‌شدگی اندکی دارند که در ارتباط با جدایش بلورهای الیوین از ماقماست. الیوین ضریب نگهداری بالاتری از HREE را نسبت به LREE دارد. وجود فقیرشدگی HREE نسبت به LREE در الگوی هنجار شده این گدازه‌ها را می‌توان در ارتباط با درجات پایین ذوب‌بخشی^{۱۸} و برخاستگاه آن‌ها دانست [۲۶]. زیرا ضرایب جدایش REE در این کانی اختلاف‌های زیادی باهم دارند. بی‌هنجاری منفی Eu در سنگ‌ها می‌تواند نشان از جدایی بلورهای پلازیوکلаз در این گدازه‌ها و یا پایین بودن گریزندگی اکسیژن^{۱۹} باشد [۲۷، ۲۸]. بی‌هنجاری Eu براساس Eu/Eu*=Eu_N/[√](Sm_N)(Gd_N) از Eu/Eu*<1 باشد [۲۷] محسوبه شده است (جدول ۲) که Eu/Eu*>1 باشد

نمودار Cr-Ce/Sr [۱۶]، (شکل ۱۵ ب). سنگ‌ها در گستره‌ی بازالت‌های قوس آتش‌فشنای نشان می‌دهد. در شکل ۱۶ نمونه‌ها نسبت به گوشه‌ی اولیه^{۱۸} [۱۸] و در شکل ۱۷ نسبت به کندریت^{۱۹} [۱۹] هنجار شده‌اند. الگوی ارائه شده به طور کلی دارای شب منفی و حالت‌های میخ مانند است. [۲۰]، معتقد است که سنگ‌های در ارتباط با قوس در مقایسه با سنگ‌های پشت‌های میان اقیانوسی و سنگ‌های دیگر اقیانوسی، بیشتر دارای چنین حالتی هستند.

دلیل ایجاد چنین حالتی را در غنی‌شدگی بیشتر LILE^{۱۱}، نسبت به HFSE^{۱۲} می‌داند. وی معتقد است که تهی‌شدگی بعضی عناصر مانند Ti, Nb, Ta باعث بیهنجاری منفی در سنگ‌های قوسی می‌شود. در شکل ۱۶ نسبت به عناصر HFSE غنی‌شدگی بیشتری دارند و Nb نسبت به عناصر مجاور خود تهی‌شدگی نشان می‌دهند. تیتانیوم در سنگ‌های آذرین اصولاً به صورت ایلمنیت حضور دارند و می‌توانند جاوشین Al در الیوین و دیوپسید شوند. Nb عنصری ناسازگار است، این عنصر می‌تواند به مقدار کم جاوشین Ti در کانی روئیل شود. باقی ماندن چنین فاز دیر گدازی در خاستگاه می‌تواند باعث تهی‌شدگی Nb در ماقماهای وابسته به فورانش شود. همچنین جذب انتخابی بیشتر Nb در شبکه آمفیبول باقی‌مانده، نسبت به فازهای دیگر گوشه‌ای می‌تواند عاملی برای ایجاد بی‌هنجاری منفی Nb باشد [۲۱]. اضافه شدن ترکیبات شاری فقیر از Nb و غنی از LILE به گوهی گوشه‌ای^{۱۳} باعث ایجاد گوشه‌های دگرنهاد می‌شود و چنین الگویی را در ماقماهای در ارتباط با حاشیه‌ی همگرای صفحات داریم [۲۰]. تهی‌شدگی از Ce می‌تواند به دلیل دگرگونی و اکسایش باشد [۲۲]. وجود بی‌هنجاری منفی و نابهنجاری در Ce در سنگ‌های آذرین یا دگرگونی دگرسان نشده، ممکن است نشانگر دخالت مواد با خاستگاه فوق پوسته‌ای و فورانده شده در خاستگاه باشد [۲۳]. غنی‌شدگی از عناصر Sr, Pb, Cs می‌تواند به دلیل جایگزینی این عناصر با K در کانی‌های پتاسیم‌دار، و

14- Rare Earth Element

15- Nakamura chondrite

16- Light Rare Earth Element

17- Heavy Rare Earth Element

18- Fractional fusion

19- Fugacity Oxygen

9- Primitive Mantle

10- Chondrit

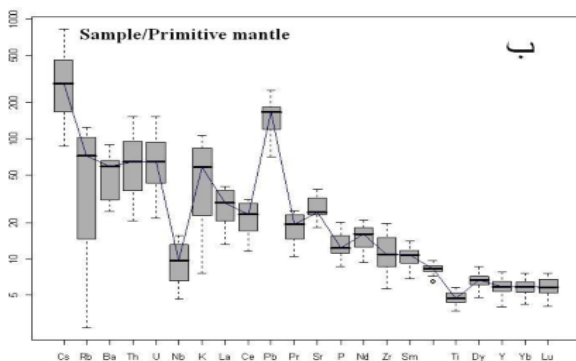
11- Large Ione Litophile Element

12- High Field Strain Element

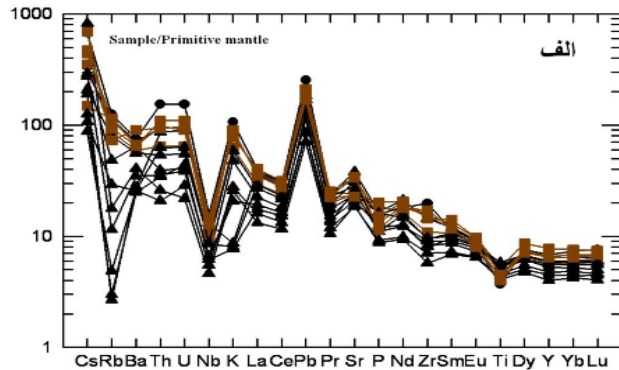
13- Mantle wedg

(La/Lu)_N) هستند. به نظر می‌رسد همان عواملی که در غنی شدگی پتاسیم نقش داشته‌اند (فرایندهای دگرنهاد کننده گوشه‌هه و درصد ذوب‌بخشی پایین) موجب غنی‌شدگی در La نیز شده‌اند.

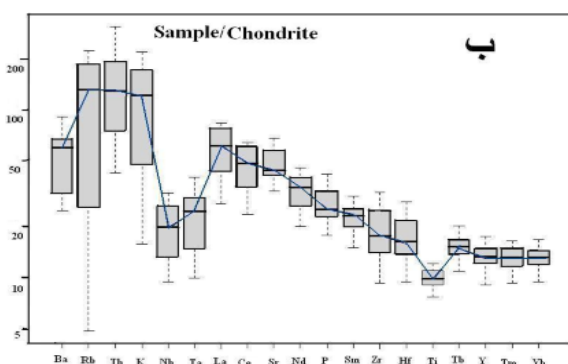
که نشان دهنده بی‌هنجاری منفی است. همچنین وجود بی-هنجاری منفی Eu در گدازه‌ها نشان از وجود نقش جدایی پلازیوکلازها در ایجاد این سنگ‌ها دارد [۲۸]. نسبت (La/Lu)_N در گدازه‌ها از ۲۸ تا ۵۹ تغییر می‌کند (جدول ۲) که گدازه‌های با میزان بالای K₂O دارای نسبت بالاتری از



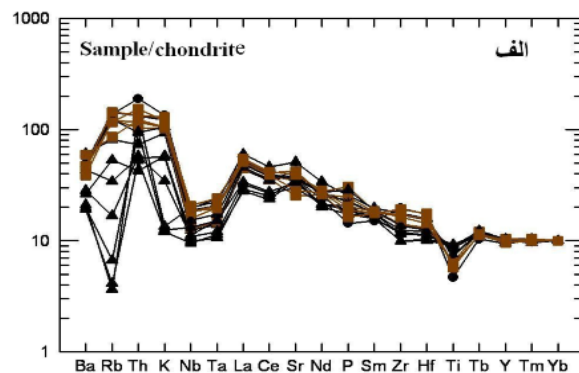
شکل ۱۶ ب) نمودار تار عنکبوتی بهنجرار شده نسبت به گوشه‌هی اولیه.



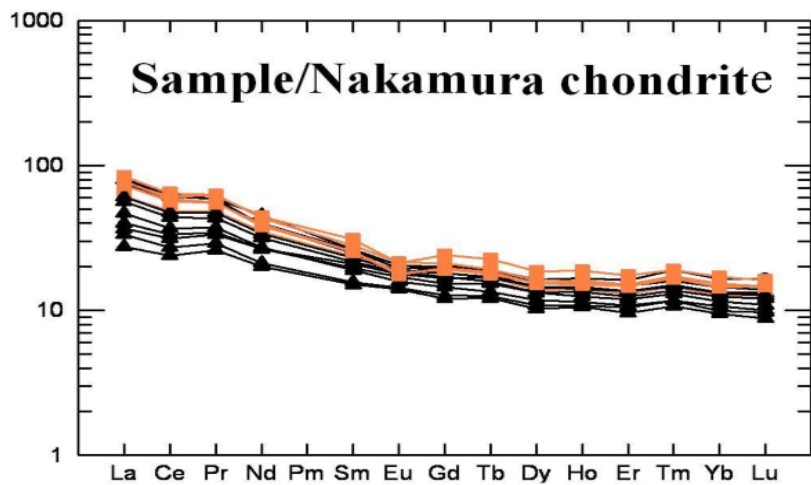
شکل ۱۶ الف) نمودار تار عنکبوتی بهنجرار شده نسبت به گوشه‌هی اولیه.



شکل ۱۷ ب) نمودار تار عنکبوتی هنجار شده نسبت به کندریت.



شکل ۱۷ الف) نمودار تار عنکبوتی هنجار شده نسبت به کندریت.



شکل ۱۸ نمودار بهنجرار شده REE گدازه‌های منطقه هزار بر اساس کندریت ناکامورا.

جدول ۲ محاسبه‌ی I.S ، بی‌هنگاری Eu، نسبت $(La/Lu)_N$ و محاسبه‌ی شبی بازالت‌ها.

Sample	$(Eu)_N$	$(Sm)_N$	$(Gd)_N$	Eu/Eu^*	$(La)_N$	$(Yb)_N$	$(La/Yb)_N$	$(K_2O)_N$	$(Lu)_N$	$(La/Lu)_N$	I.S
HMR-3-2	1,۳۷	۵,۰۵	۵,۶۶	۰,۲۶	۲۷,۵	۳,۶۳	۷,۵۸	۳,۲۱	۰,۵۶	۴۹,۱۱	۱۱,۳۲
HMR-6-2	۱,۲۲	۳,۸۴	۴	۰,۳۱	۱۵,۴	۲,۳۶	۶,۵۳	۱,۴۴	۰,۳۴	۴۵,۲۹	۲۱,۸۵
HR-8-1	۱,۵۷	۵,۳۲	۵,۴۶	۰,۲۹	۲۶,۳	۲,۹۳	۸,۹۸	۰,۲۶	۰,۴۵	۵۸,۴۴	۲۰,۲۸
HR-11-1	۱,۰۸	۳,۰۶	۳,۳۲	۰,۳۴	۹,۱	۲,۰۸	۴,۳۷	۰,۷۷	۰,۳	۳۰,۳۳	۳۳,۵۳
HRM-5-3	۱,۶۳	۶,۲۷	۶,۶۴	۰,۲۵	۲۵	۳,۷۴	۶,۶۸	۲,۵۷	۰,۵۵	۴۵,۴۵	۱۳,۸۸
HRZ-3-9	۱,۴۷	۴,۷۸	۵,۰۴	۰,۳	۲۰,۲	۲,۷۸	۷,۲۷	۱,۸۸	۰,۴۳	۴۶,۹۸	۲۲,۴۰
HRZ-9-9	۱,۴۲	۴,۴	۴,۶۹	۰,۳۱	۱۸,۶	۲,۵۵	۷,۲۹	۱,۷۷	۰,۳۷	۵۰,۲۷	۲۲,۸۶
HRZ-10-2	۱,۱	۳,۱۸	۳,۴۹	۰,۳۳	۱۱	۲,۱۸	۵,۰۵	۰,۸۳	۰,۳۳	۳۳,۳۳	۲۶,۴۳
HRZ-1-2	۱,۴۹	۵,۲۹	۵,۴۹	۰,۲۸	۲۴,۹	۳,۱۹	۷,۸۱	۲,۵۷	۰,۴۷	۵۲,۹۸	۱۶,۶۱
HS-2-3	۱,۴۵	۴,۷	۴,۹۶	۰,۳	۲۰	۲,۹۲	۶,۸۵	۰,۲۴	۰,۴۳	۴۶,۵۱	۲۰,۹۹
HS-3-10	۱,۳۷	۴,۲۴	۴,۶	۰,۳۱	۱۲,۱	۲,۹	۴,۱۷	۰,۲۳	۰,۴۳	۲۸,۱۴	۲۰,۹۰
HS-4-4	۱,۳۱	۴	۴,۲۳	۰,۳۲	۱۳,۲	۲,۷۳	۴,۸۴	۰,۶۲	۰,۴۱	۳۲,۱۹	۲۸,۰۳
HS-5-3	۱,۳۵	۵,۱۹	۵,۴	۰,۲۵	۲۵,۷	۳,۱۹	۸,۰۶	۲,۴۹	۰,۵۱	۵۰,۳۹	۱۵,۹۰
HS-5-7	۱,۳۹	۵,۱۹	۵,۲۸	۰,۲۷	۲۴,۲	۳,۱۸	۷,۶۱	۲,۷۱	۰,۵	۴۸,۴	۱۷,۷۱
HS-9-3	۱,۶۴	۵,۷۲	۵,۸۶	۰,۲۸	۲۷,۶	۳,۳۸	۸,۱۷	۲,۳۳	۰,۵	۵۵,۲	۱۰,۸۳

برداشت

تنوع سنگ‌شناسی منطقه‌ی هزار، شامل سنگ‌های آتشفسانی (گدازه‌ها و نهشته‌های آذراًواری) و سنگ‌های رسوبی است. ماقماً حین صعود در بخش‌هایی از پوسته توقف داشته و در اتاق‌های ماقمایی، تبلور کانی‌های الیوین و کلینوپیروکسن و مخصوصاً پلاژیوکلاز را در پی داشته است. بر اساس بررسی‌های ژئوشیمیایی، گدازه‌ها در گستره‌ی سری آهکی- قلیایی و در موقعیت قوس آتشفسانی قرار می‌گیرند و نمودارهای هارکر، روند ترکیبی پیوسته را نشان می‌دهند که می‌تواند حاصل تبلور جدایشی کانی‌هایی نظیر الیوین باشد و نیز ماقمای اولیه‌ی سنگ‌های منطقه در مواردی دارای سرشت بازی قلیایی و غیر اشباع و پتاسیم‌دار است. در نمودارهای عنکبوتی گدازه‌های منطقه، بی‌هنگاری‌های منفی Ti , Nb , Ta , HFSE, HREE و Ba به خوبی مشاهده می‌شود و مشابه ویژگی‌های ماقمایی وابسته به مناطق فروزانش بوده است. همچنین گدازه‌ها به حاشیه‌ی فعل قاره‌ای وابسته‌اند

شبی منفی نمودارها که بر اساس La_N/Yb_N از $-8,98$ تا $-4,17$ مشخص می‌شود (جدول ۲) و نیز روند تقریباً موازی و افقی (شکل ۱۸) مبین جدایش گارنت طی ذوب‌بخشی و یا احیاناً جدایش است. غنی‌شدنی از LREE و تهی‌شدنی از HREE و مقادیر بالای $(La/Yb)_N$ نشان می‌دهند که گدازه‌ی بوجود آورنده این گدازه‌ها از ذوب‌بخشی گوشه‌ته در گستره‌ی پایداری گارنت به عنوان فاز باقی‌مانده از ذوب در خاستگاه است. عنصر La به عنوان یک عنصر بسیار ناسازگار، حین ذوب، تحت تأثیر کانی‌شناسی گوشه‌ته (گارنت و اسپینل) قرار نمی‌گیرند [۳۰، ۳۱]، تشکیل بازالت‌های با $Yb > 2\text{ ppm}$ را در گستره‌ی پایداری گارنت می‌داند. در بازالت‌های منطقه، میزان Yb بیشتر از 2 ppm (جدول ۲) است. میزان Yb در گدازه‌ها تحت تأثیر کانی‌شناسی موجود در خاستگاه است [۳۲]. همچنین مقادیر پایین نسبت Al_2O_3/TiO_2 به همراه مقادیر بالای Ba و K_2O وابسته به وجود مقادیر بیشتر گارنت در خاستگاه آن‌ها یا عمق بیشتر ذوب باشد [۳۳].

- [11] Kuno H., "Origin of Cenozoic petrologic provinces of Japon and surrounding areas", Bull. Volcano(1959). 20, 37-76p.
- [۱۲] مر ف.، شرفی ا.، (ترجمه). "اصول ژئوشیمی"، انتشارات دانشگاه شیراز(۱۳۷۳). ۱۶۶ ص.
- [13] Muller D., Groves D.I., "Potassic ignous and associated gold-copper mineralization", Springer-verlage, (1997) 241p.
- [14] Irvine T.N., Baragar W.R.A., "A guide to the chemical classification of the common volcanic rocks", Can. J. Earth, (1971) Sci.8: 523-548p.
- [15] Wood C.A., "Morphometric evolution of scoria cones", J. Volcanol. Geotherm. Res (1980). 7, 387-413p.
- [16] Pearce J.A., "Trace element characteristics of lavas from destructive plate boundaries. In: R.S. Thorpe (Editor), Andesites. John wiley and sons, Chichester", (1982) 525-548p.
- [17] Pearce J.A., Gale G.H., "Identification of ore-deposition environment from trace element geochemistry of associated igneous host rocks", Geol. Soc. Spec.Publ. (1977), 7, 14-24p.
- [18] Sun S.S., McDonough W.F., "Chemical and isotopic systematic of oceanic basalts: implications for mantle composition and processes. In: Saunders, A.P., Norry, M.J. (eds.), Magmatism in the ocean basins", Geol. Soc. London, Spec. Publ. (1989) 42, 313-345p.
- [19] Thompson R.N., "British Tertiary volcanic province", Scoot. J. Geol. (1982) 18, 49-107p.
- [20] Best M., "Igeneous and metamorphic petrology", Black, (2003) 729p.
- [21] Green T.H., "Anatexis of mafic crust and high pressurecrystallization of andesite", 465 – 87 in Thorpe (1982).
- [22] Rollinson H., "Using geochemical data: Evaluation, Presentation, interpretation. Longman", (1993) Sngapor , 352p.
- [23] Meen J., "Negative Ce anomalies in Archean amphibolites and laramide granitoids, southwestern Montana, U.S.A. J. chem", (1990) Geol 81, 191-207p.
- [24] Pearce J.A., "Role of the sub-continental lithosphere in magma edcvgensis at active continental margins", In: Hawkesworth, C.J.,

و همهی آن‌ها خاستگاه مشترکی دارند. شواهد مختلف نشان می‌دهند که گدازه‌ها بایستی در ارتباط با فرورانش پوسته‌ی اقیانوس نئوتیس به زیر ایران مرکزی در زمان ائوسن رخ داده باشند، و محصول جدایش ماقمایی هستند که از ذوب بخشی گوه گوشه‌ای غنی شده در بالای منطقه‌ی فرورانشی در گستره‌ی پایداری گارت ایجاد شده‌اند.

مراجع

- [1] Forster H., Feselfeldt, K., Kursten M., "Magmatic and orogenic evolution of the central Iranian volcanic belt", 24th. Inter. Geol. Cong. 1972. 198-210p.
- [2] Dimitrijevic M.D., "Geology of Kerman region", Geol. Surv. Iran, Yu/52, (1973) 334p.
- [۳] آقا نباتی ع.، "زمین‌شناسی ایران، سازمان زمین‌شناسی و اکتشافات معدنی کشور"، (۱۳۸۵). ۲۴۰ ص.
- [4] Fisher R.V., "Proposed classification of volcanoclastic sediments and rocks", Geol. Soc. Am. (1961a). Bull 72, 1409-1414p.
- [5] Kuritani T., "Phenocryst crystallization during ascent of alkali basalt magma at Rishiri volcano, northern Japan", J.volcano. Geotherm, Res. (1999) 88, 77-97p.
- [6] Wilson M., "Igeneous petrogenesis. Harpercollins Academic,UK", (1991) 466p.
- [7] Loomis T.P., Welber P.W., "Crystallization processes in the compositional zoning of plagioclase", Contrib. Mineral. Petrol (1982)., 81: 230-239p.
- [8] Le Maitre, R.W. et all., "A classification of ignous rocks and glossary of terms", Blackwell . Oxford , (1989) . 193 p.
- [9] Hughes C.J., "Spilites, kratophyres and the igneous spectrum", Geol. Mag(1972), 109, 513-527p.
- [10] Le Bas M.J. Le Maitre R.W., Streckeisen A., zanttin B., "A chemical classification of volcanic rocks basd on the total alkali-silica digram", J.Petrol. (1986) 27, 745-750.

- [30] Aldanmaz E., Pearce J.A., Thirwall M.F., Mitchell J.G., "Petrogenetic evolution of late Cenozoic post-collision volcanism in western Anatolia, Turkey, *J. Volcanol. Geotherm.*", Res. (2000), 102, 67-95p.
- [31] Hildreth W., Moorbath S., "Crustal contribution to arc magmatism in the Andes Central of Chile", *Contrib. Mineral. Petrol.* (1988) 98, 455-498p.
- [32] Tiirk J., Kastl B., Otgonhuu J., "Genesis and evolution of Tertiary lavas of the central Hangay mountains, Mongolia", Zoth Annual Keck Symposium; (2007).
- [33] Green T.H., "Significance of Nb/Ta as a indicator of geochemical processes in the crust-mantle system", *Chem. Geol.* (1995) 120, 347-359p.
- Norry, M.J. (Eds.), "Continental Basalts and Mantle Xenoliths", Shiva. Cheshire, UK (1983), 230-249p.
- [25] Nakamura N., "Determination of REE, Ba, Fe, Mg, Na and K in carbonaceous and ordinary chondrites *Geochim. Cosmochim.*", (1974), 38 - 757 - 775p.
- [26] Wittke J.H., Mack L.E., "OIB-like mantle source for continental alkalin rock of the Bacones province, Texas: trace elements and isotopic evidence", *J. Geology.* (1993) 101, 333-344p.
- [27] Taylor S.R., McLennan S.M., "The continental crust, its composition and evolution", Blackwell scientific Publication, Oxford. (1985) 312p.
- [28] Gill J.B., "Orogenic and esites and plate tectonic", Springer-Verlag, Berlin. (1981) 390p.
- [29] Verma S.P., "Extension-related origin of magmas from a garnet-bearing source in the Los Tuxtlas Volcanic field, Mexico", *J. Earth Sci.* (2006) 95, 788-901p.